

# [Abbildungen = Images]

Objekttyp: **Appendix**

Zeitschrift: **Bericht der Eidgenössischen Kommission zur Überwachung der Radioaktivität**

Band (Jahr): **14 (1970-1971)**

PDF erstellt am: **28.05.2024**

## Nutzungsbedingungen

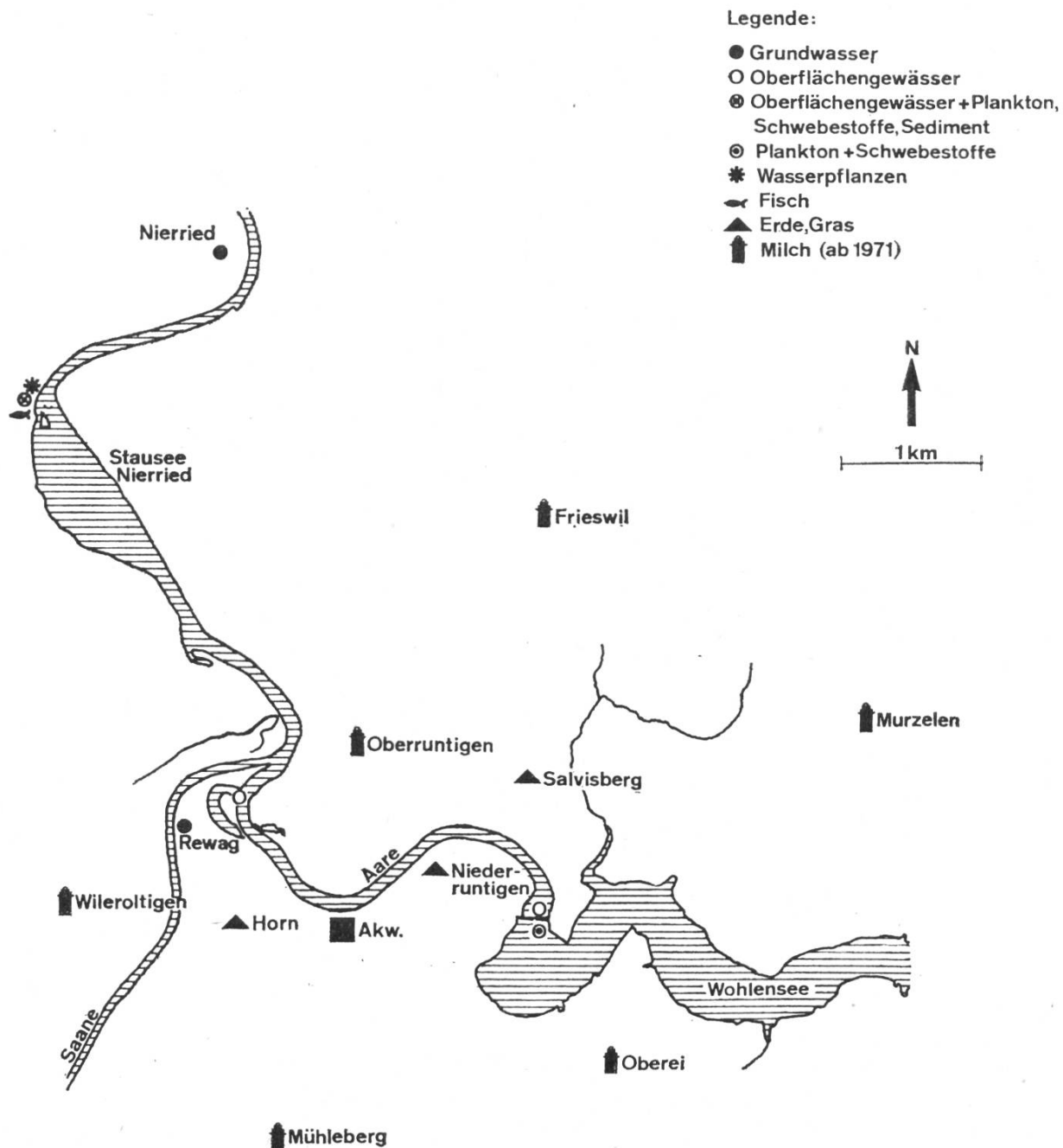
Die ETH-Bibliothek ist Anbieterin der digitalisierten Zeitschriften. Sie besitzt keine Urheberrechte an den Inhalten der Zeitschriften. Die Rechte liegen in der Regel bei den Herausgebern.

Die auf der Plattform e-periodica veröffentlichten Dokumente stehen für nicht-kommerzielle Zwecke in Lehre und Forschung sowie für die private Nutzung frei zur Verfügung. Einzelne Dateien oder Ausdrucke aus diesem Angebot können zusammen mit diesen Nutzungsbedingungen und den korrekten Herkunftsbezeichnungen weitergegeben werden.

Das Veröffentlichen von Bildern in Print- und Online-Publikationen ist nur mit vorheriger Genehmigung der Rechteinhaber erlaubt. Die systematische Speicherung von Teilen des elektronischen Angebots auf anderen Servern bedarf ebenfalls des schriftlichen Einverständnisses der Rechteinhaber.

## Haftungsausschluss

Alle Angaben erfolgen ohne Gewähr für Vollständigkeit oder Richtigkeit. Es wird keine Haftung übernommen für Schäden durch die Verwendung von Informationen aus diesem Online-Angebot oder durch das Fehlen von Informationen. Dies gilt auch für Inhalte Dritter, die über dieses Angebot zugänglich sind.



**Fig. 1. Probeentnahmestellen in der Umgebung des Atomkraftwerks (AKW) Mühleberg**  
**Fig. 1. Lieux de prélèvement d'échantillons aux environs de l'usine atomique (AKW) Mühleberg**

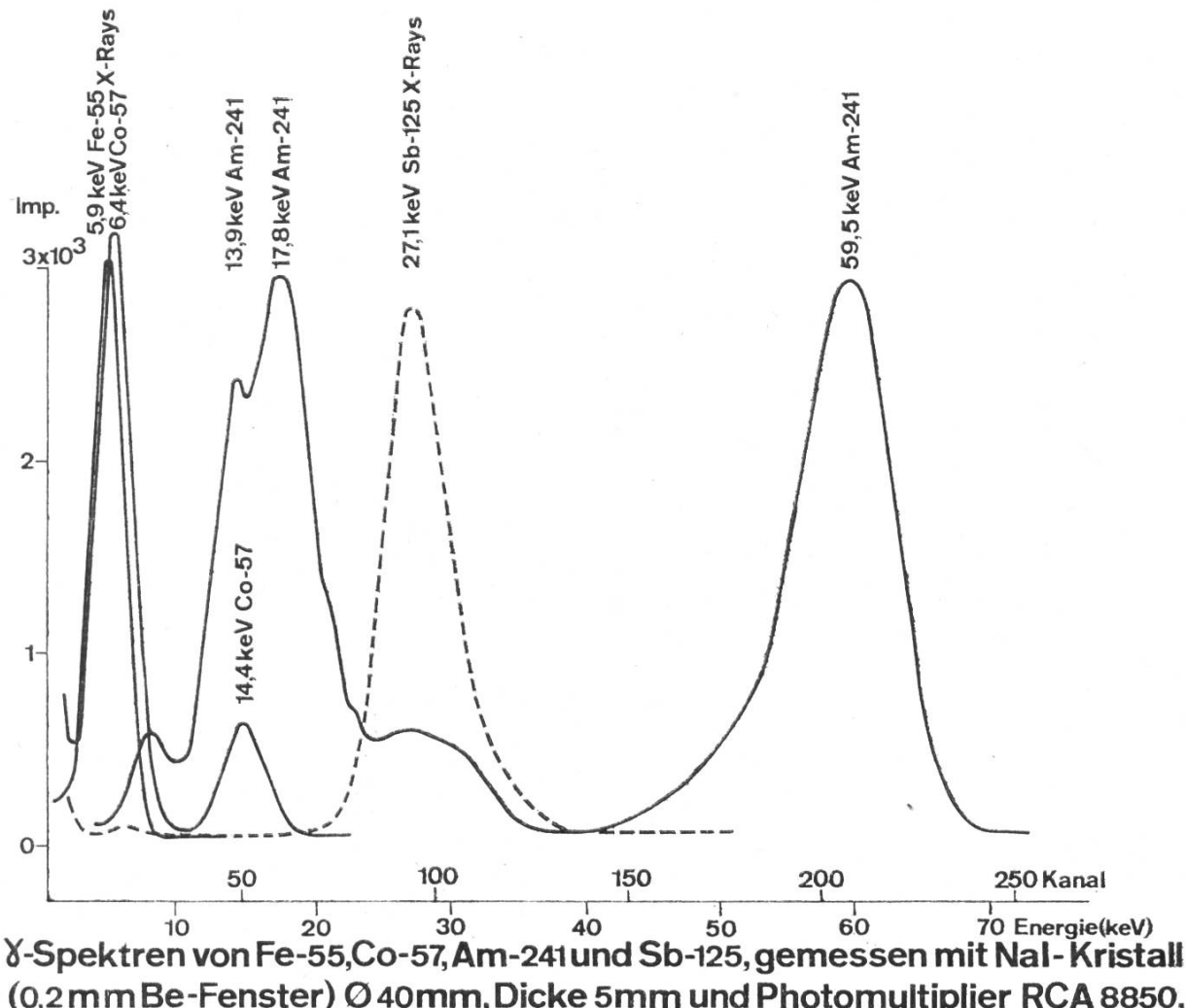


Fig. 2. Gammaspektren bei kleinen Energien, gemessen mit NaI-Kristall  $\varnothing$  40 mm, Dicke 5 mm (0,2 mm Beryllium-Fenster) und Photomultiplier RCA 8850

Fig. 2. Spectres gamma à basses énergies, mesurés avec un cristal NaI de  $\varnothing$  40 mm et d'épaisseur 5 mm (fenêtre beryllium de 0,2 mm d'épaisseur) et un photomultiplicateur RCA 8850

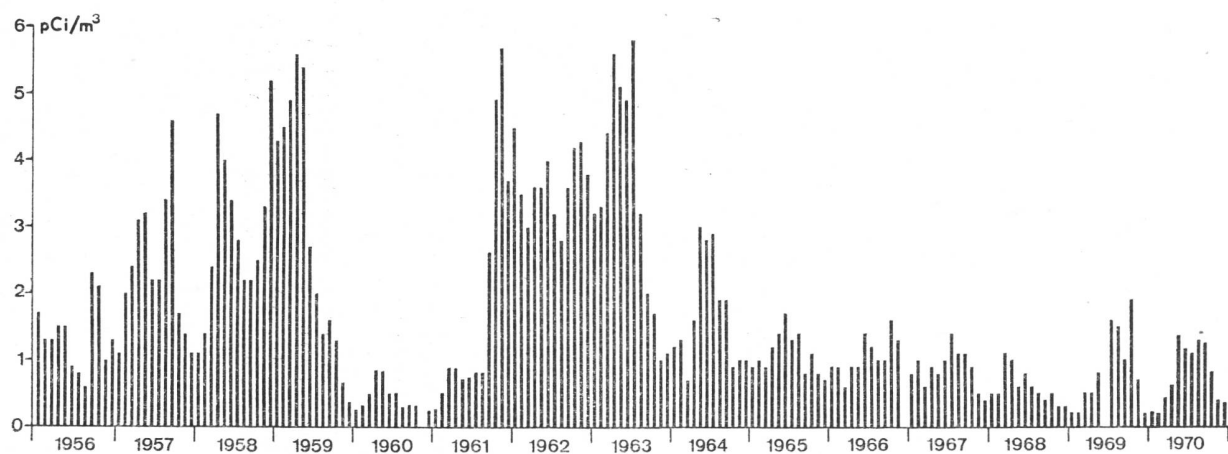
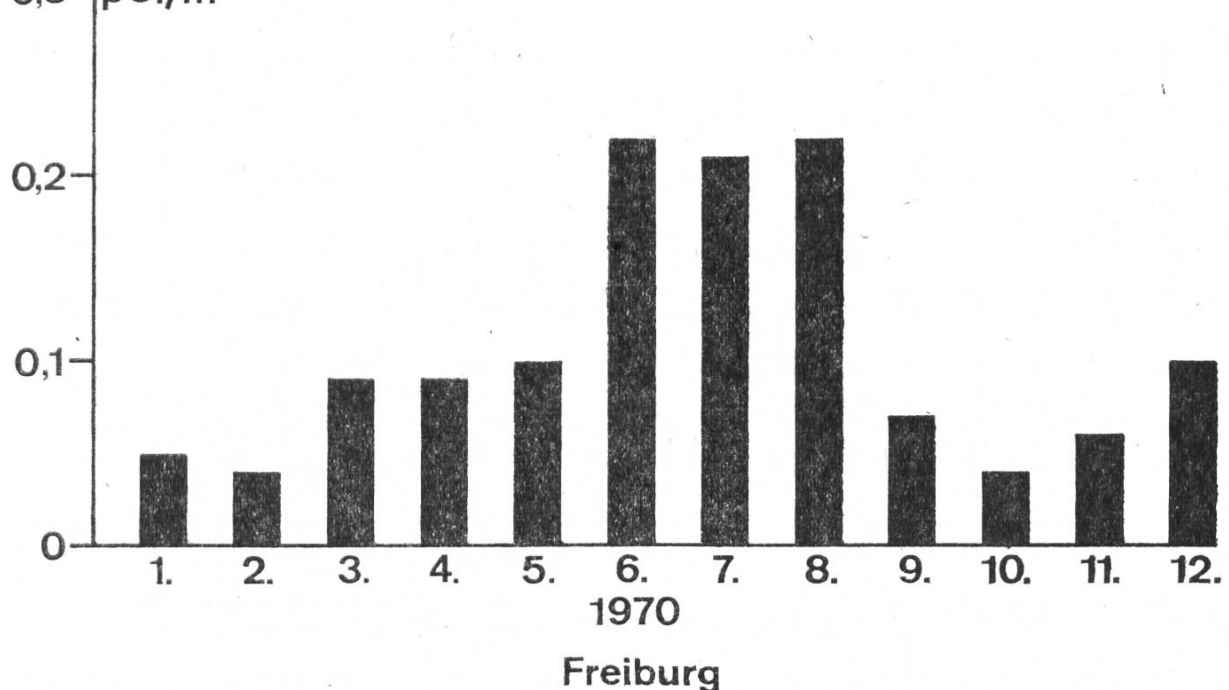
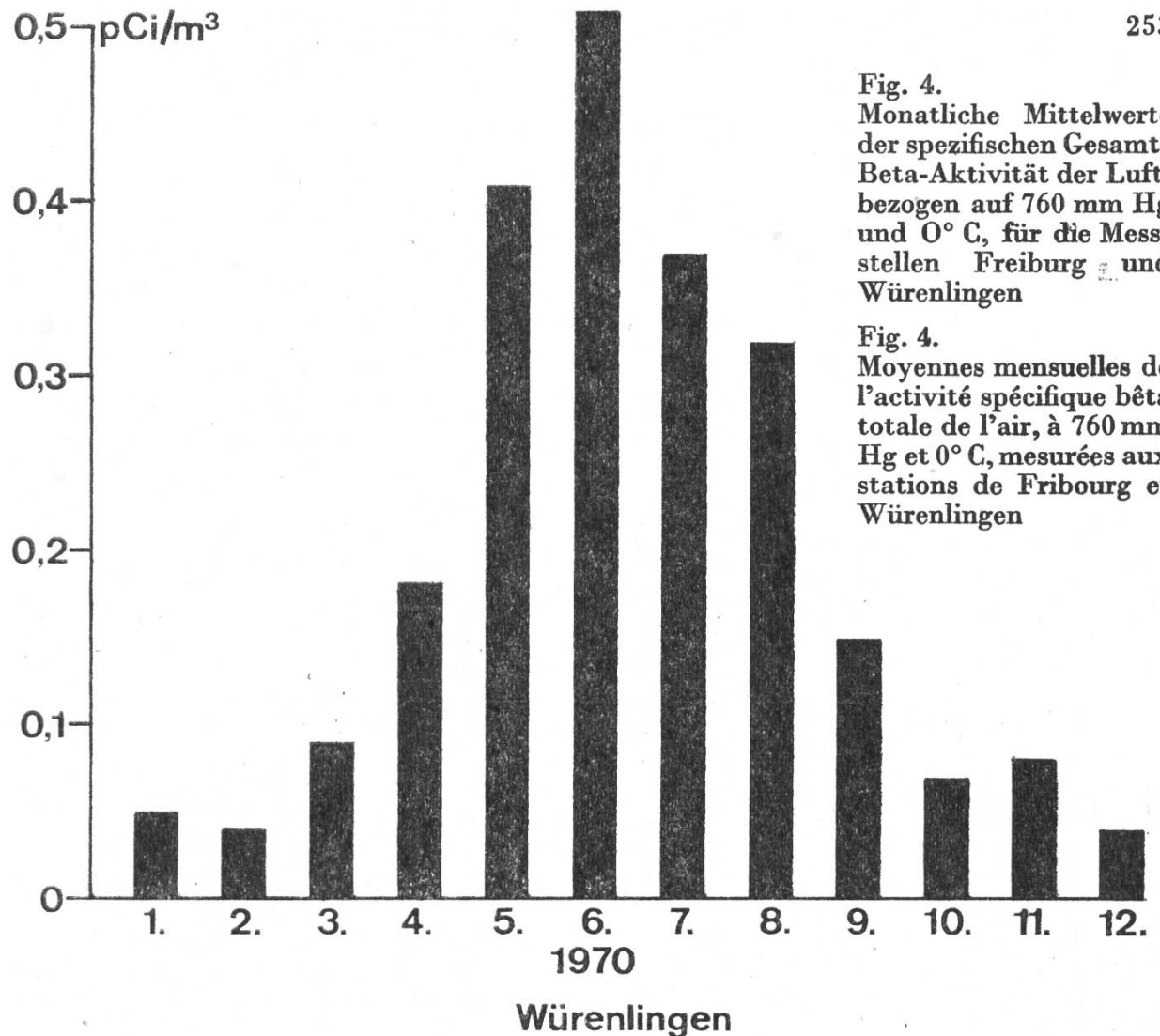
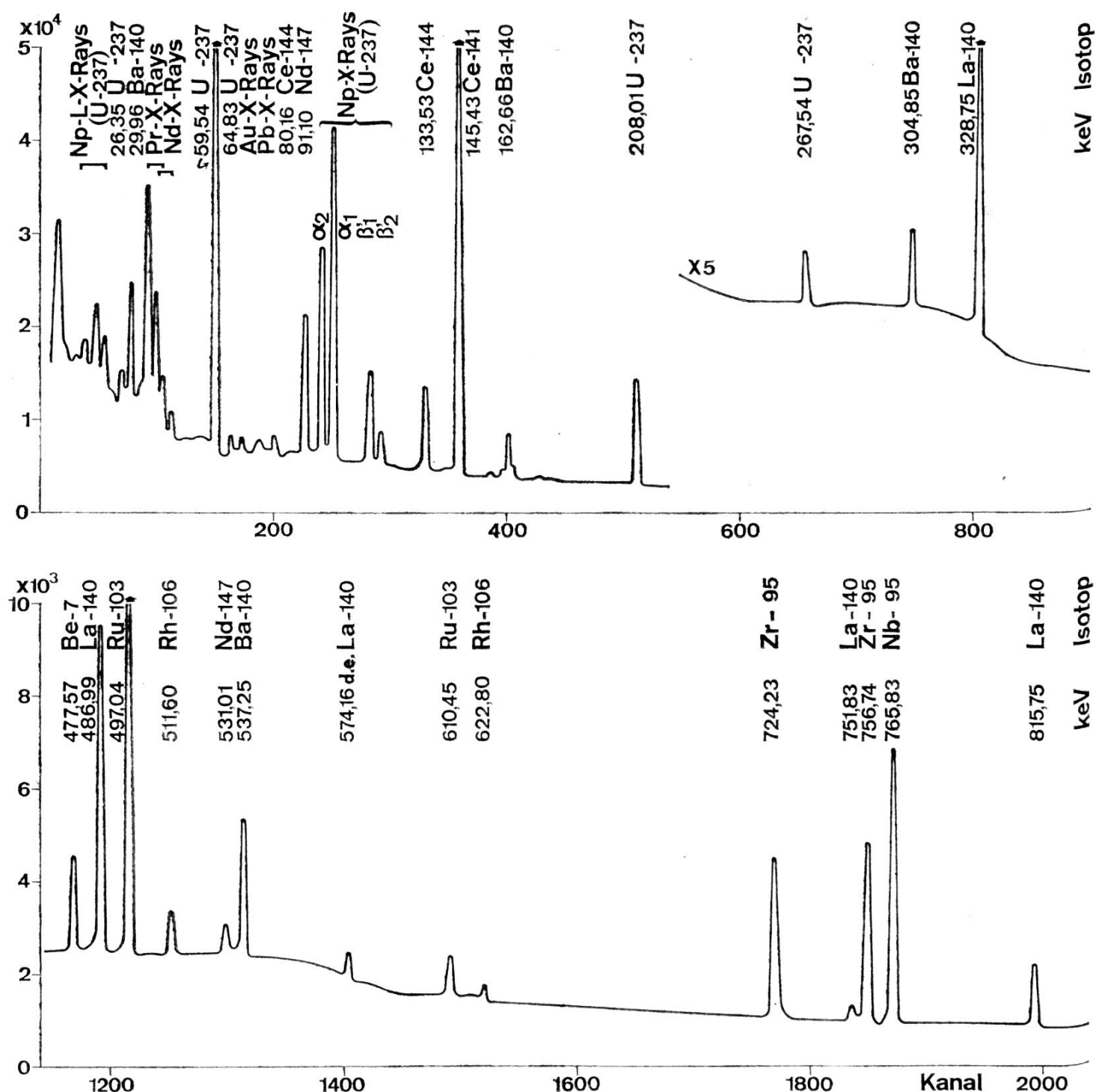


Fig. 3. Monatliche Mittelwerte der spezifischen Gesamt-Beta-Aktivität der Luft, bezogen auf 760 mm Hg und 0° C, für die Messstelle Payerne von 1956 bis 1970

Fig. 3. Moyennes mensuelles de l'activité spécifique bêta totale de l'air, à 760 mm Hg et 0° C, mesurées à la station de Payerne de 1956 à 1970





**Luftprobe obere Troposphäre, 9.11.70, gemessen  
20.-23.11.70 mit Ge(Li) Planardiode.**

**Fig. 5.** Gammaspektrum einer Luftprobe (1850 kg) aus der oberen Troposphäre (12 700 m), gesammelt am 9. 11. 70, gemessen vom 20.–23. 11. 70 mit einer Ge-(Li)-Planardiode

**Fig. 5.** Spectre gamma d'un échantillon d'air (1850 kg) de la troposphère supérieure (12 700 m), collecté le 9. 11. 70, mesuré du 20. au 23. 11. 70 avec une diode planaire Ge(Li)

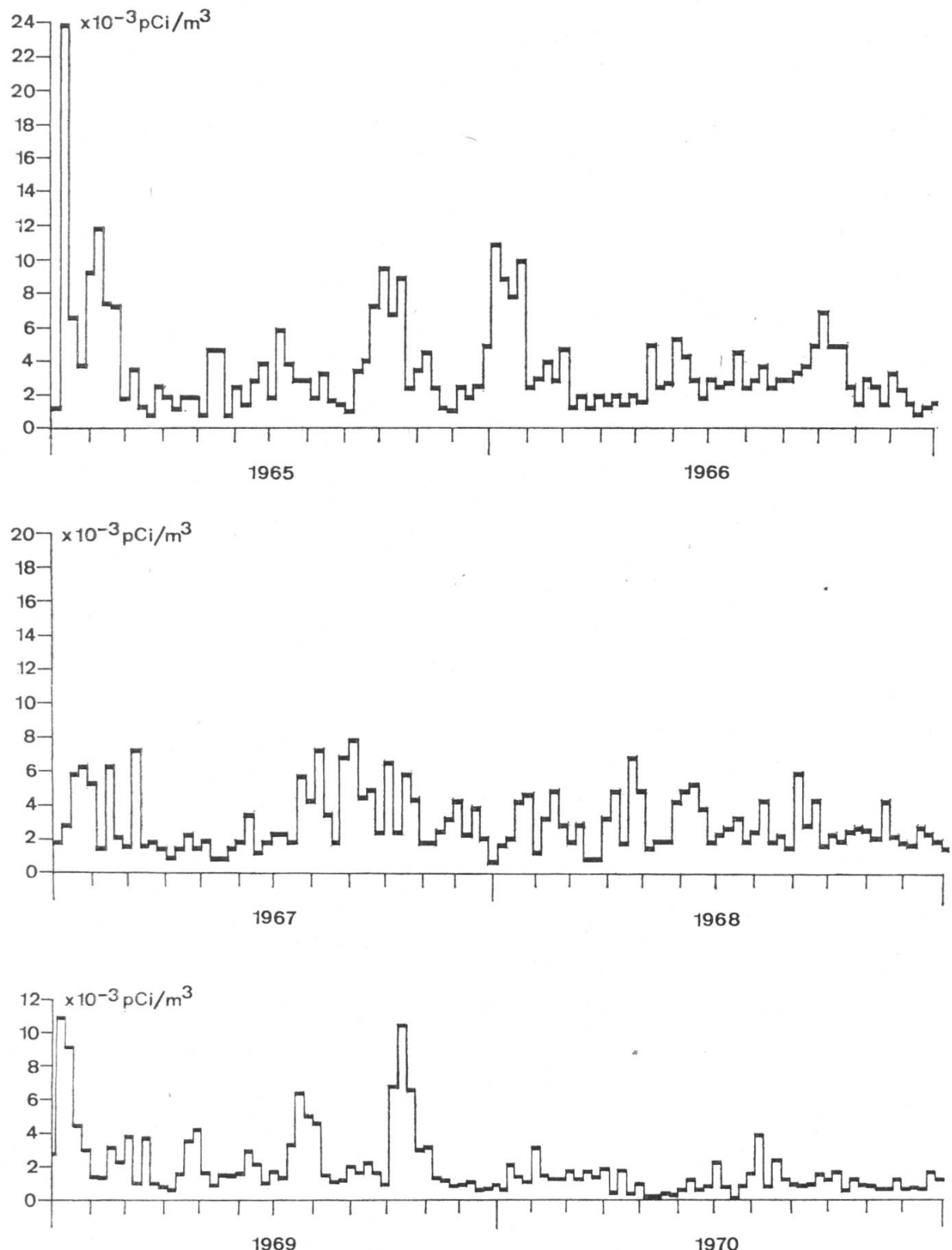


Fig. 6. Alpha-Aktivität von Luftfiltern aus Stein AG für die Jahre 1965 bis 1970

Fig. 6. Activité alpha des filtres d'air de Stein AG pour les années 1965 à 1970

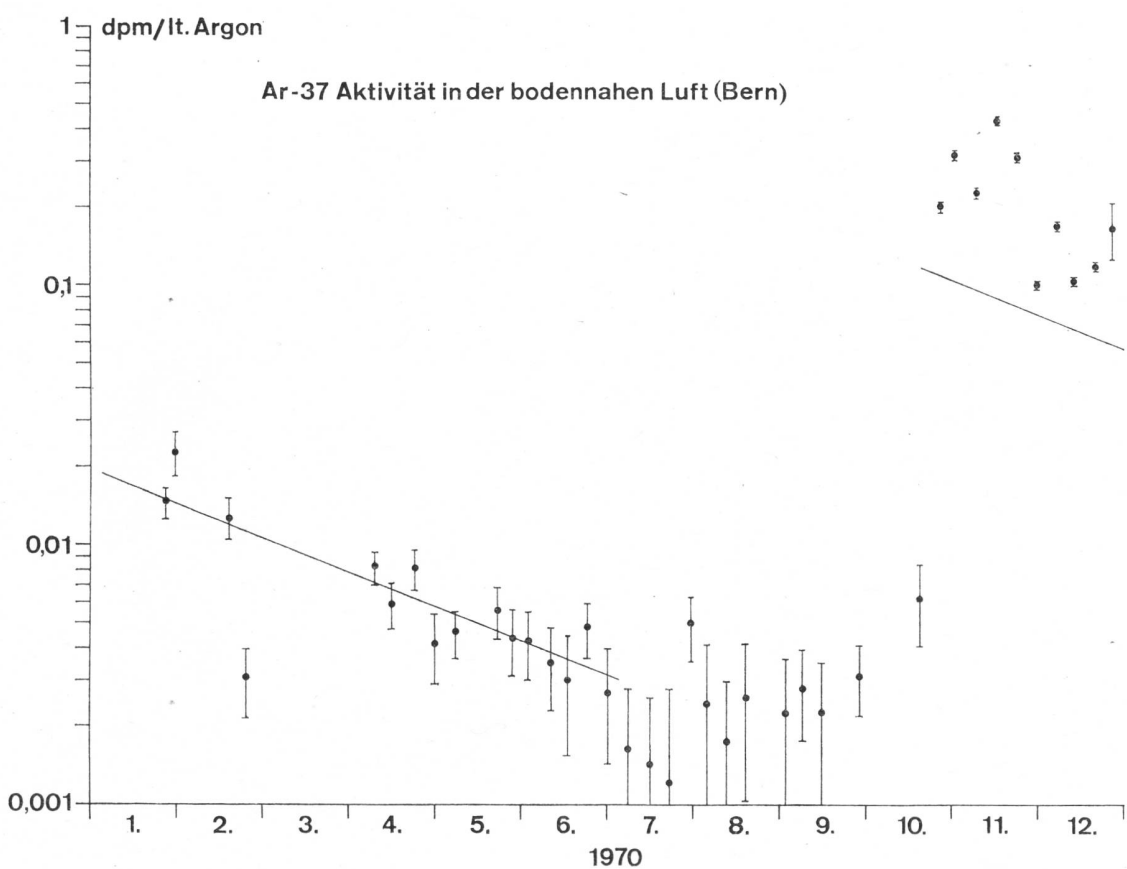


Fig. 7. Ar-37 in der Luft im Jahr 1970. Einheit: Zerfälle pro Minute/Liter Ar. Die ausgezogene Linie gibt den natürlichen Zerfall von Ar-37 an  
 Fig. 7. Ar-37 dans l'air pour l'année 1970. Unité: nombre de désintégrations par minute/litre d'Ar-37. Le trait oblique marque la désintégration naturelle de l'Ar-37

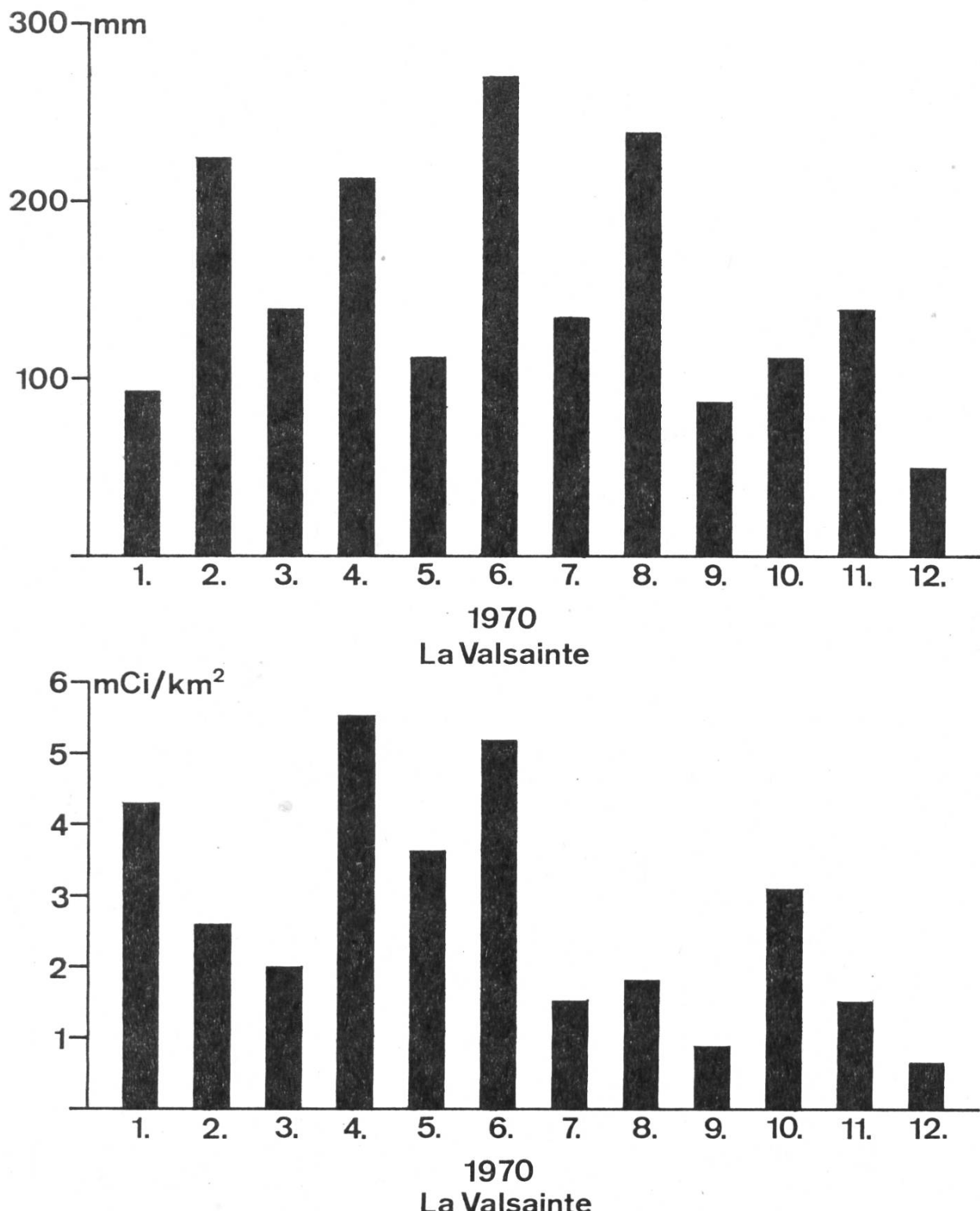


Fig. 8. Monatliche Niederschlagsmenge (oben) und monatliche, dem Erdboden durch Niederschlag zugeführte Gesamt-Beta-Aktivität pro  $\text{km}^2$  Bodenfläche (unten) für die Messstelle La Valsainte

Fig. 8. Quantité mensuelle des précipitations (en haut) et activité bêta totale accumulée mensuellement par  $\text{km}^2$  au sol par les précipitations (en bas) pour la station de La Valsainte

## Niederschlag Bern 1970

258

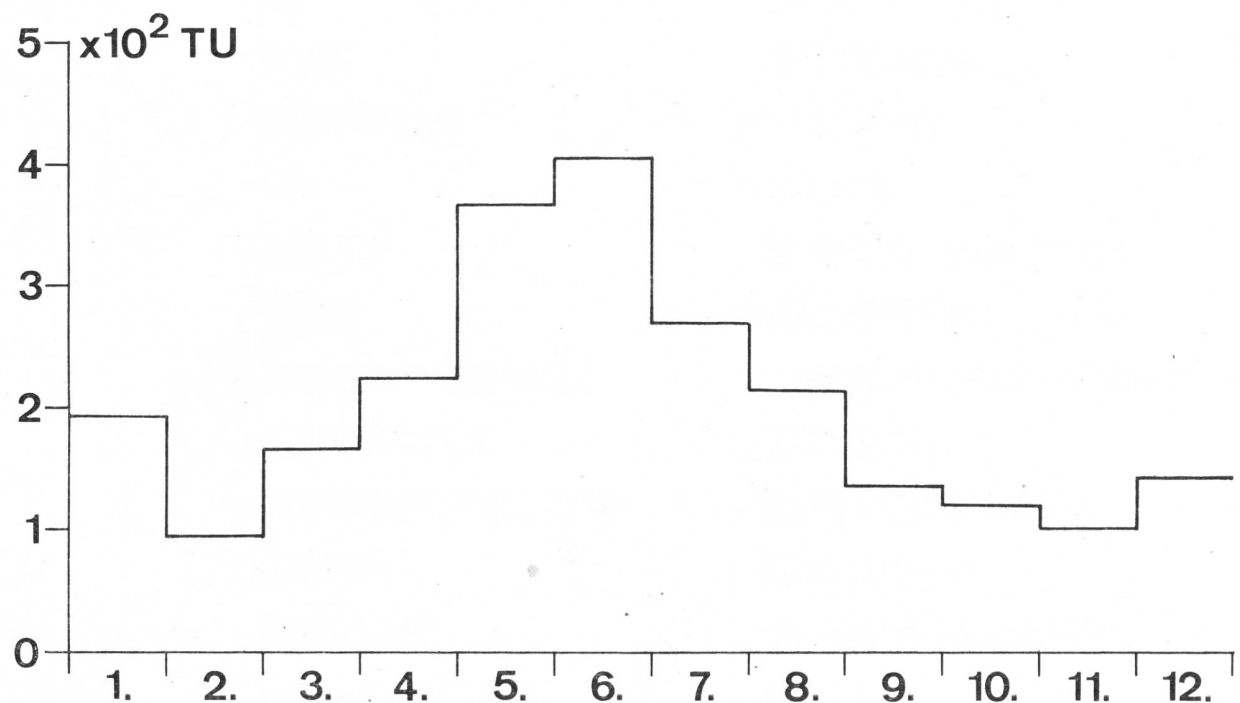
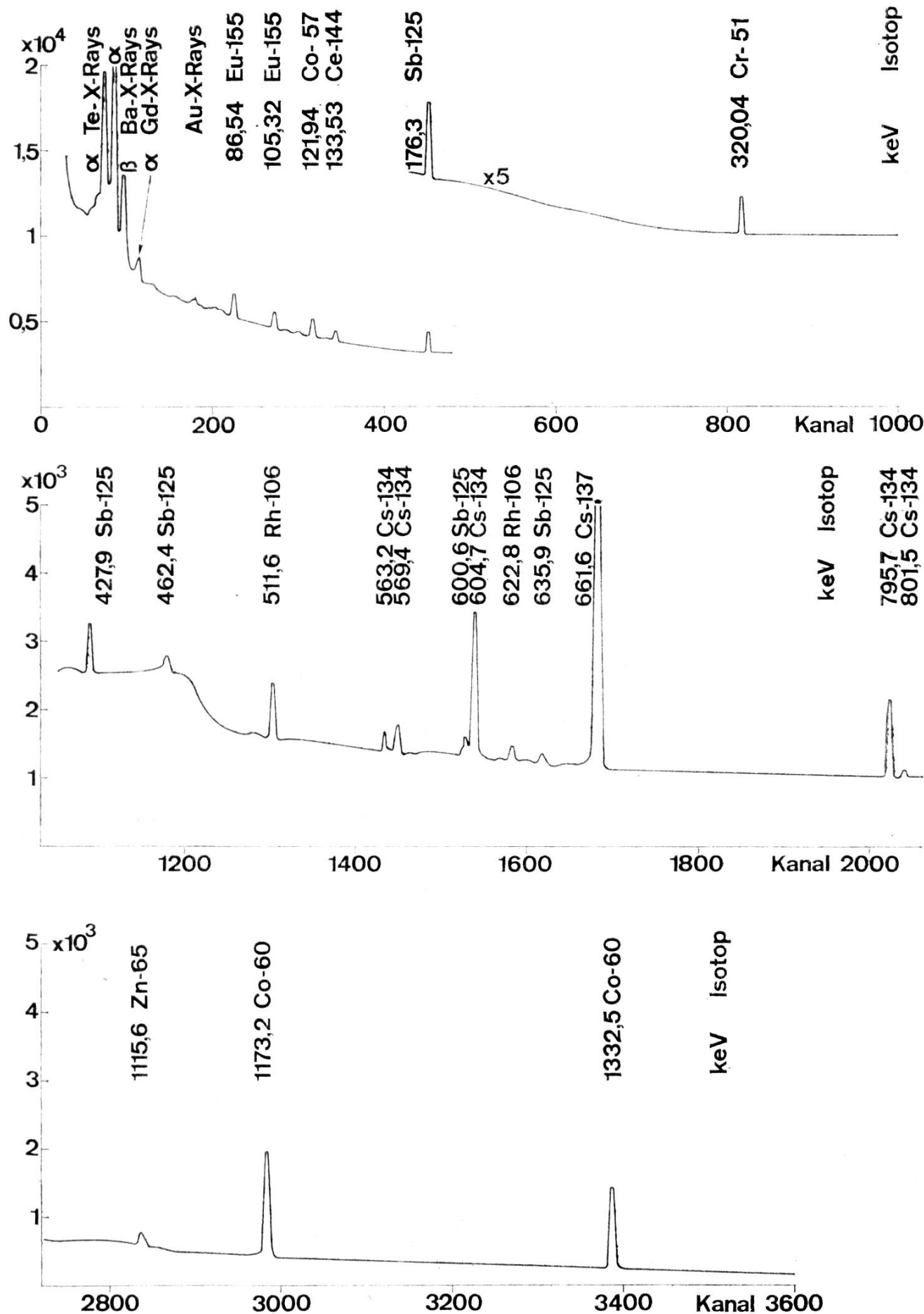


Fig. 9. Tritiumkonzentration in Regenproben aus Bern. Angaben in TU: 1 TU = 1 Tritiumatom pro  $10^{18}$  Wasserstoffatome, entsprechend 3,2 pCi T/l Wasser

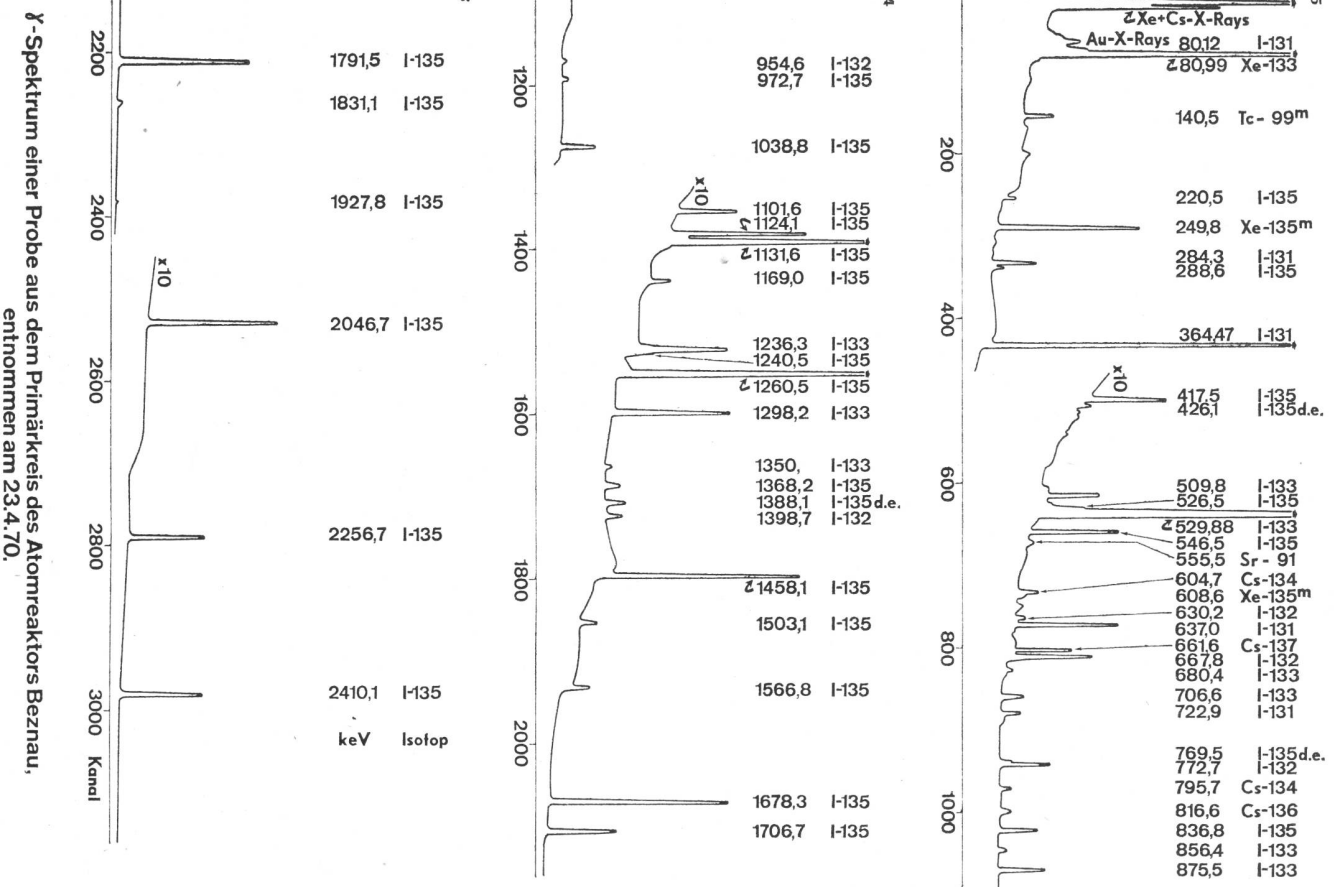
Fig. 9. Teneur en tritium d'échantillons de pluie de Berne. Données en TU: 1 TU = 1 atome de tritium par  $10^{18}$  atomes d'hydrogène, soit 3,2 pCi T/l d'eau

B



Abwasser EIR vom 30.1.70, gemessen mit Ge(Li) Planardiode.

Fig. 10. Gammaspektrum einer Abwasserprobe des EIR Würenlingen, entnommen 30. 1. 70, gemessen 10./11. 2. 70 mit einer Ge-(Li)-Planardiode Fig. 10. Spectre gamma d'un échantillon d'eau résiduaire de l'IIFR Würenlingen, prélevé le 30. 1. 70, mesuré le 10./11. 2. 70 avec une diode planaire Ge(Li)



$\gamma$ -Spektrum einer Probe aus dem Primärkreis des Atomreaktors Beznau, entnommen am 23.4.70.

Fig. 11. Gammaspektrum einer entgasten Wasserprobe aus dem Primärkreislauf des Atomkraftwerks Beznau, entnommen 23. 4. 70, gemessen 6 Stunden später mit einer Ge-(Li)-Planardiode  
 Fig. 11. Spectre gamma d'un échantillon d'eau dégazéifiée du circuit primaire de l'usine atomique Beznau, prélevé le 23. 4. 70, mesuré six heures après le prélèvement avec une diode planaire Ge(Li)

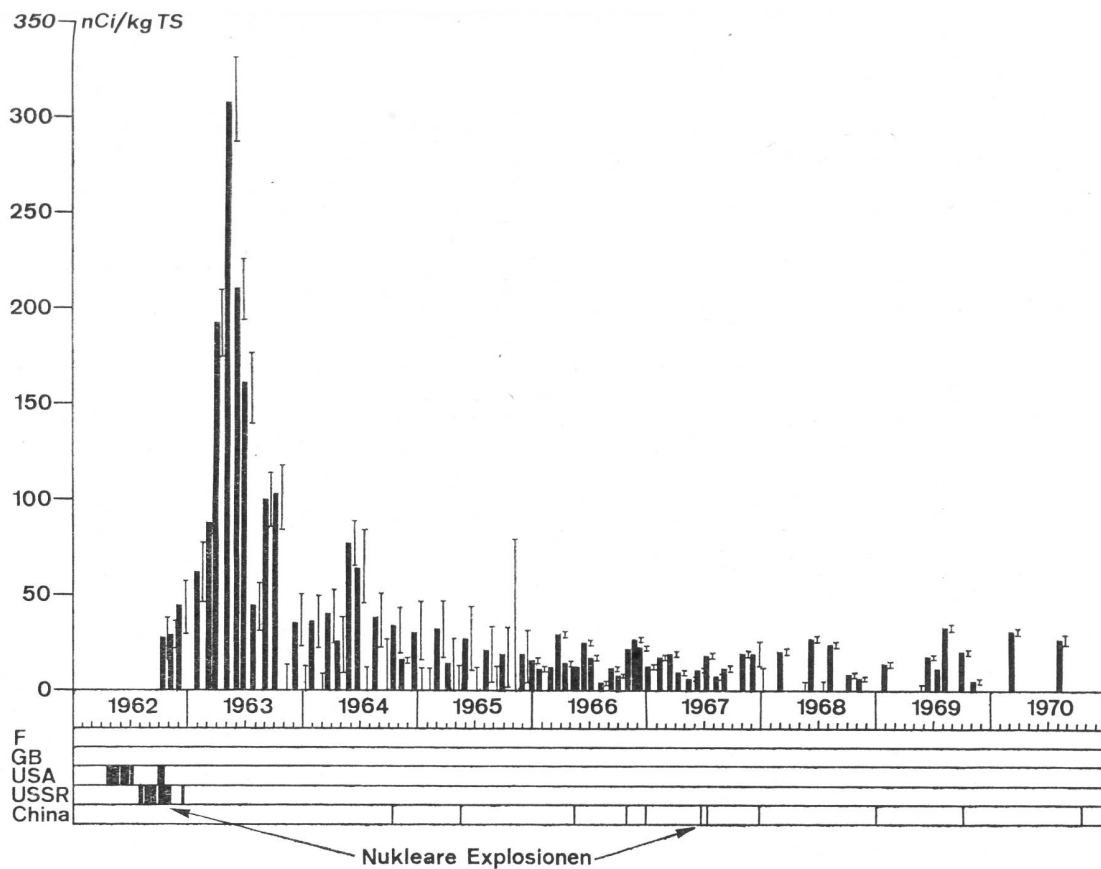


Fig. 12. Spezifische Gesamt-Beta-Aktivität von Phytoplankton aus dem Vierwaldstättersee 1962–1970. Unten: Nukleare Explosionen auf der Nordhalbkugel

Fig. 12. Activité spécifique bêta totale dans le phytoplancton du lac des Quatre-Cantons, de 1962 à 1970. En bas: Explosions nucléaires sur l'hémisphère nord

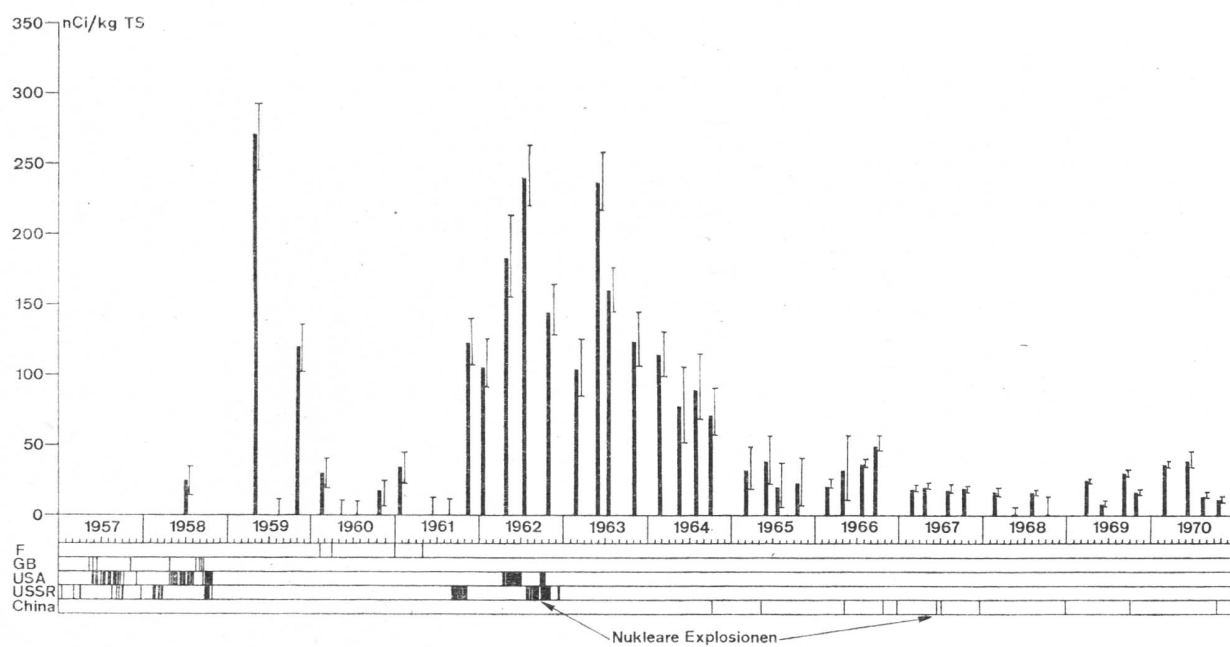


Fig. 13. Spezifische Gesamt-Beta-Aktivität von Plankton und Schwebestoffen aus dem Stausee Klingnau 1958-1970.  
Unten: Nukleare Explosionen auf der Nordhalbkugel

Fig. 13. Activité spécifique bêta totale dans le plancton et les matières suspendues de la retenue de Klingnau, de 1958 à 1970.  
En bas: Explosions nucléaires sur l'hémisphère nord

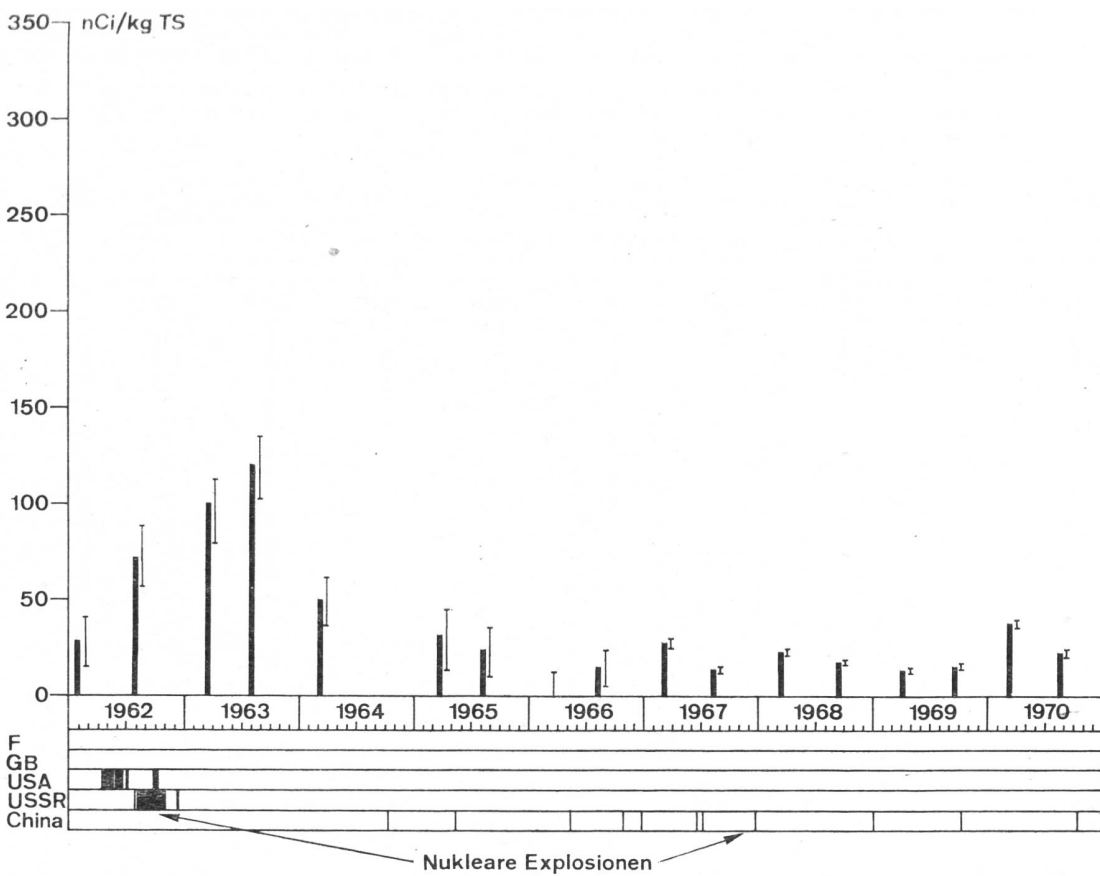


Fig. 14. Spezifische Gesamt-Beta-Aktivität von Sediment aus dem Stausee Klingnau, 1962–1970. Unten: Nukleare Explosionen auf der Nordhalbkugel

Fig. 14. Activité spécifique bêta totale dans les sédiments de la retenue de Klingnau de 1962 à 1970. En bas: Explosions nucléaires sur l'hémisphère nord

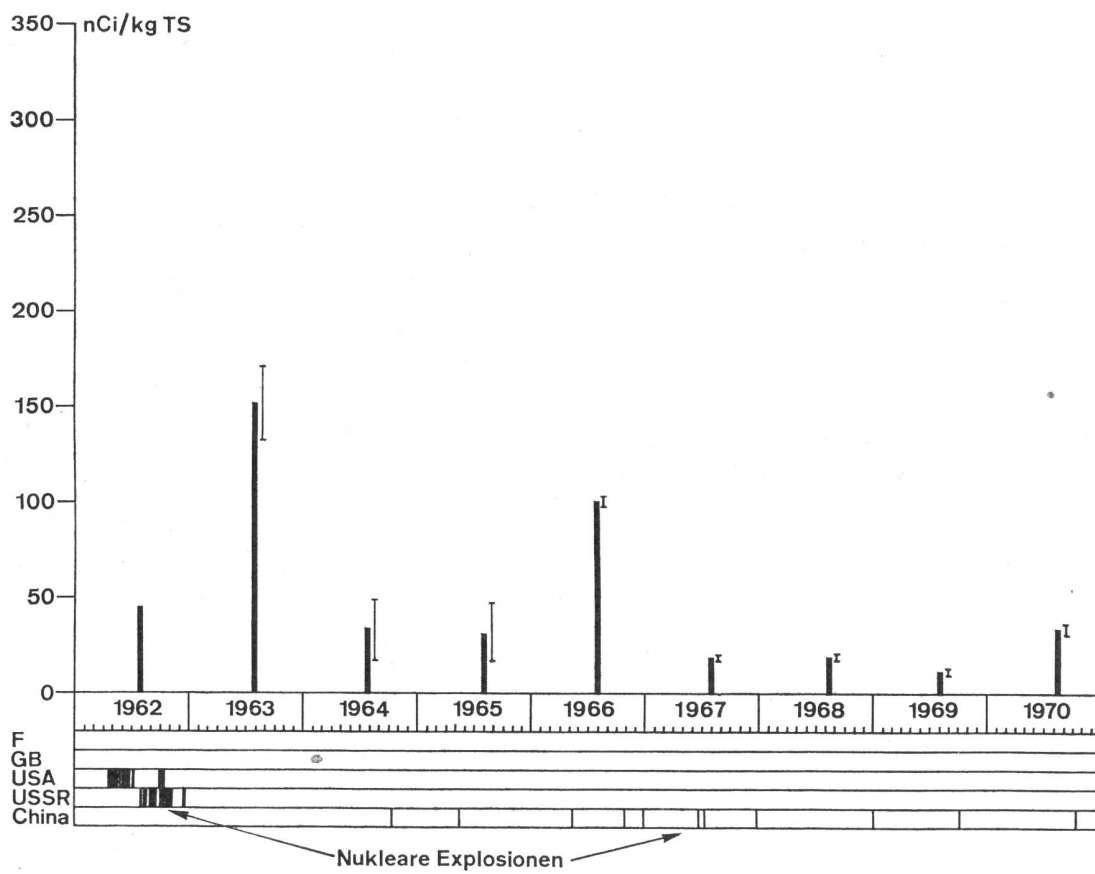


Fig. 15. Spezifische Gesamt-Beta-Aktivität von Wasserpflanzen (*ranunculus fluitans*) aus dem Stausee Klingnau, 1962–1970.  
Unten: Nukleare Explosionen auf der Nordhalbkugel

B  
Fig. 15. Activité spécifique bêta totale dans les plantes aquatiques (*ranunculus fluitans*) de la retenue de Klingnau de 1962 à 1970. En bas: Explosions nucléaires sur l'hémisphère nord

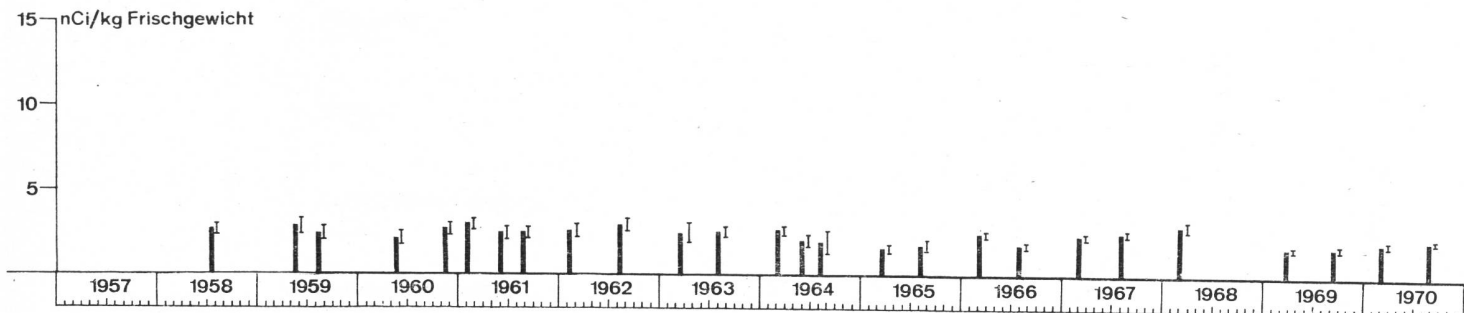


Fig. 16. Spezifische Gesamt-Beta-Aktivität von Fleisch von Fischen aus dem Klingnauer Stausee, 1958–1970

Fig. 16. Activité spécifique bêta totale dans la viande de poissons de la retenue de Klingnau, de 1958 à 1970

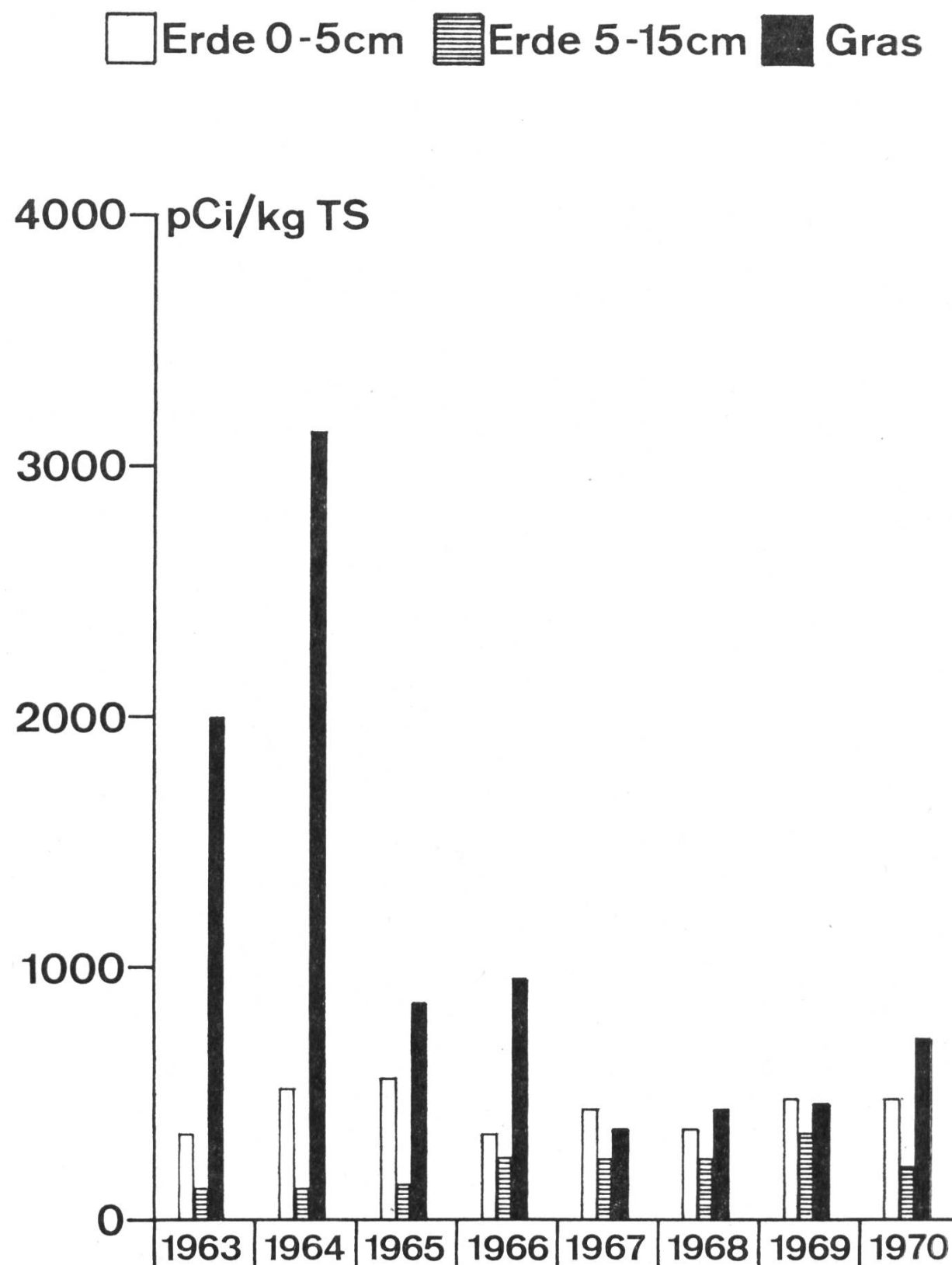


Fig. 17. Sr-90-Aktivität von Erdboden und Gras in der Umgebung von Würenlingen-Beznau, 1963–1970

Fig. 17. Activité du Sr-90 dans le sol et dans l'herbe des environs de Würenlingen-Beznau de 1963 à 1970

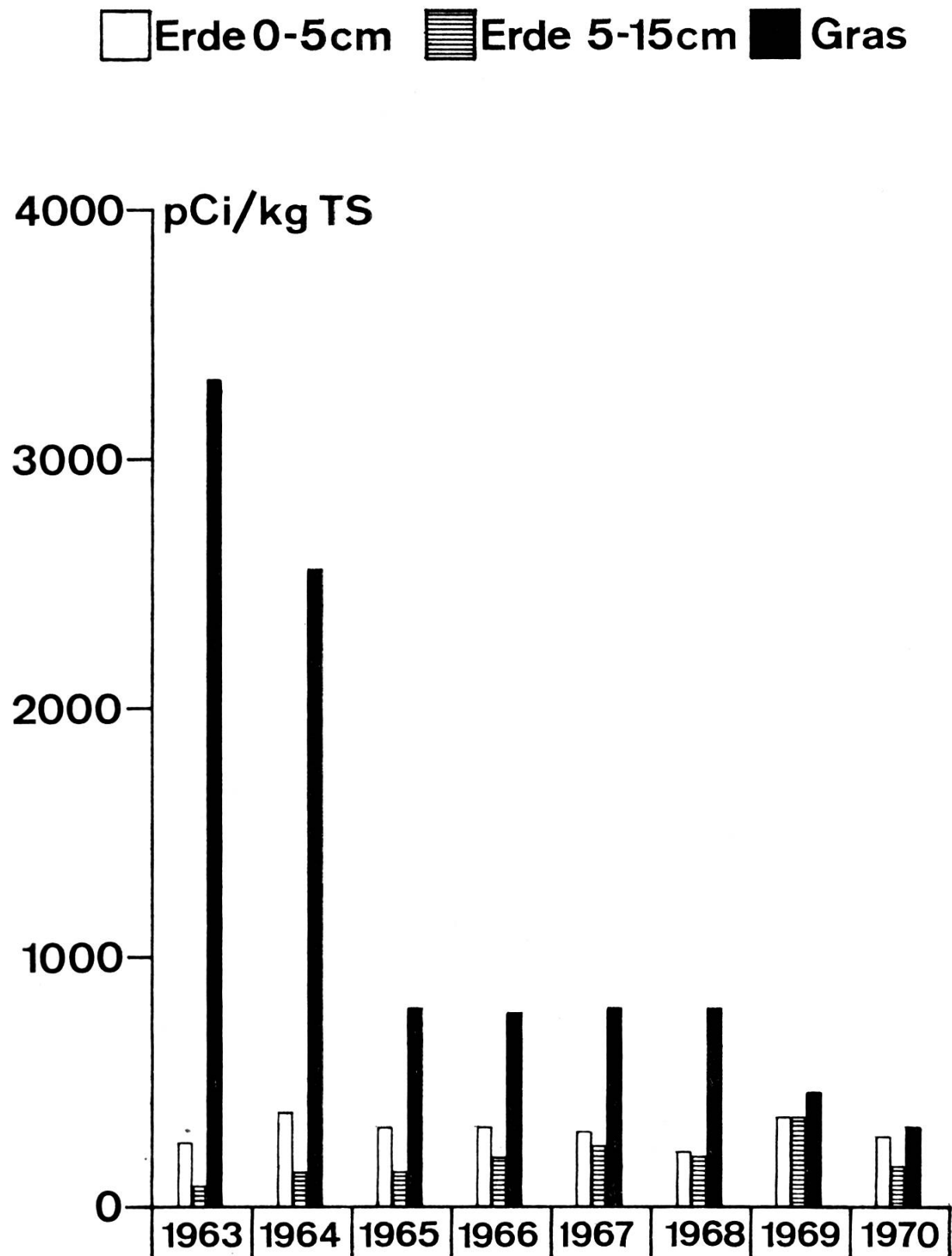


Fig. 18. Sr-90-Aktivität von Erdboden und Gras in der Umgebung von Lucens, 1963–1970  
Fig. 18. Activité du Sr-90 dans le sol et dans l'herbe des environs de Lucens de 1963 à 1970

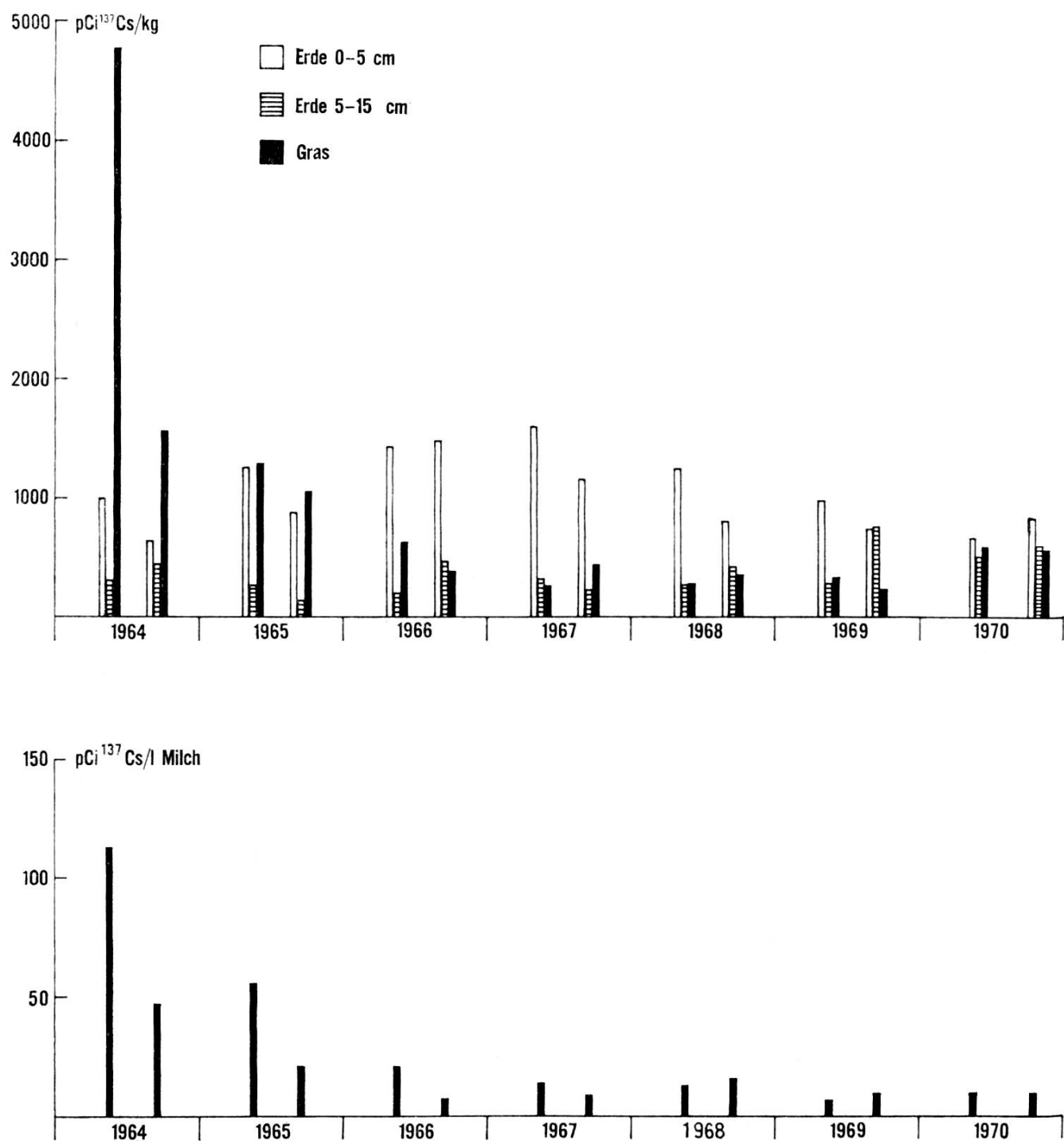


Fig. 19. Cs-137-Aktivität von Erdboden, Gras und Milch, Arenenberg TG, 1964–1970

Fig. 19. Activité du Cs-137 dans le sol, dans l'herbe et dans le lait à Arenenberg TG, de 1964 à 1970

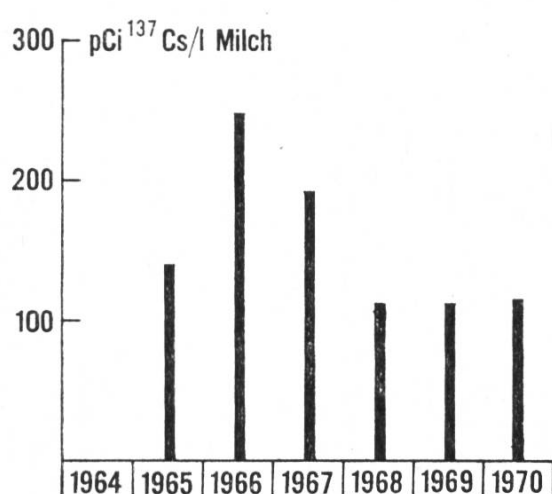
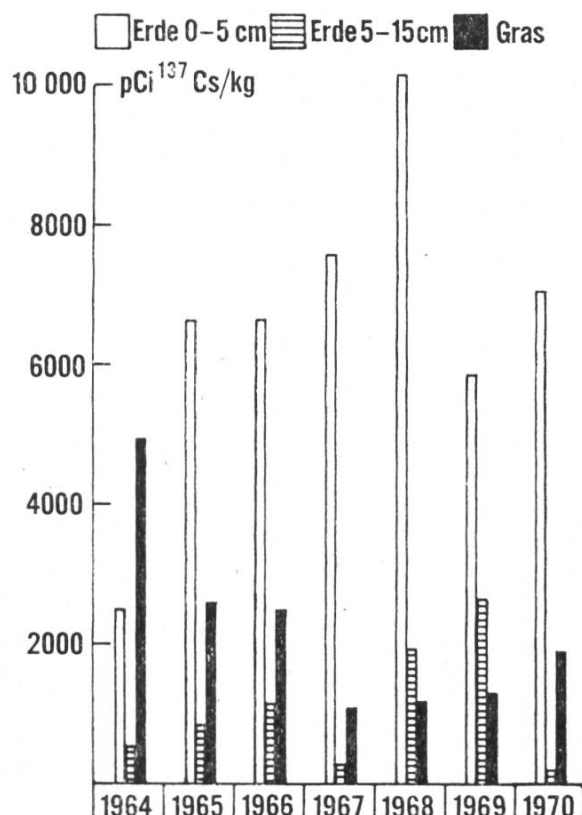


Fig. 20. Cs-137-Aktivität von Erdboden, Gras und Milch, Davos-Stillberg GR, 1964–1970  
 Fig. 20. Activité du Cs-137 dans le sol, dans l'herbe et dans le lait à Davos-Stillberg GR, de 1964 à 1970

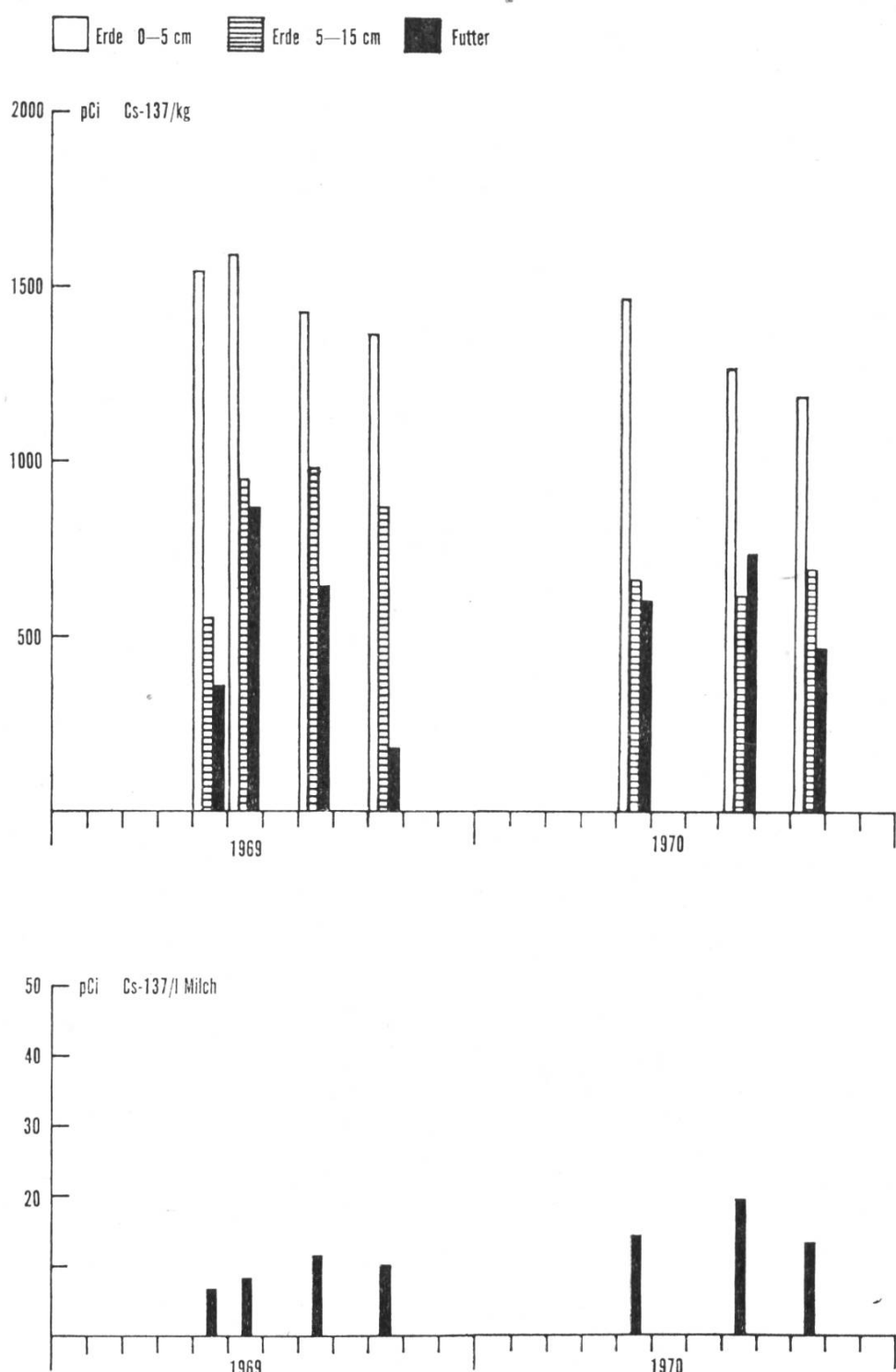


Fig. 21. Cs-137-Aktivität von Erdboden, Gras und Milch, Grangeneuve FR, 1969 und 1970  
 Fig. 21. Activité du Cs-137 dans le sol, dans l'herbe et dans le lait à Grangeneuve FR, de 1969 et 1970

□ Erde 0-5cm    Ⓜ Erde 5-15cm    ◑ Futter

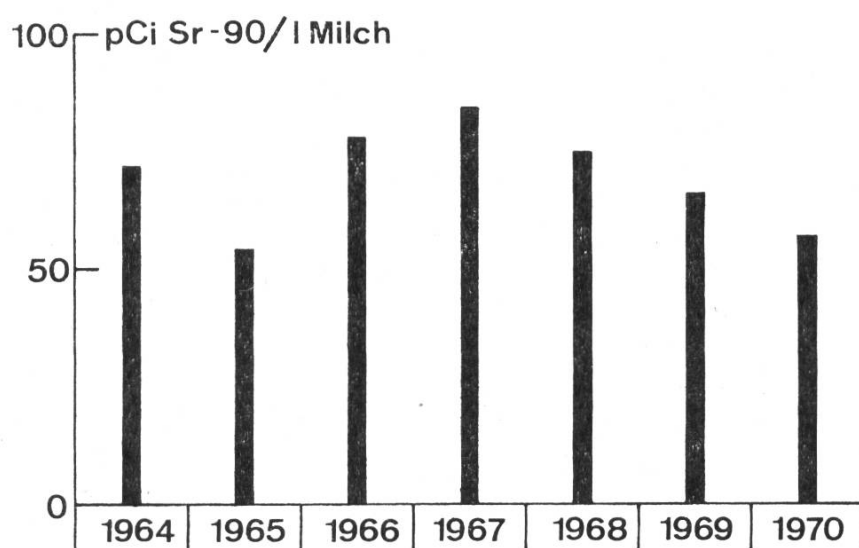
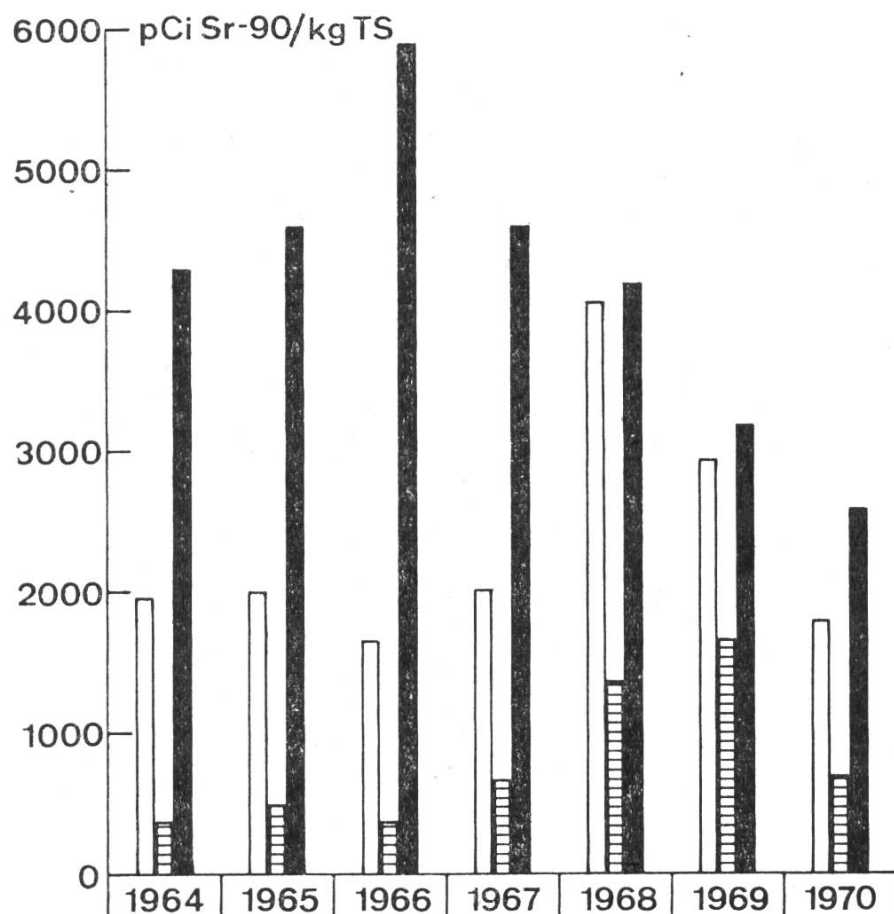


Fig. 22. Sr-90-Aktivität von Erdboden, Gras und Milch, Davos-Stillberg, 1964–1970

Fig. 22. Activité du Sr-90 dans le sol, dans l'herbe et dans le lait de Davos-Stillberg, de 1964 à 1970

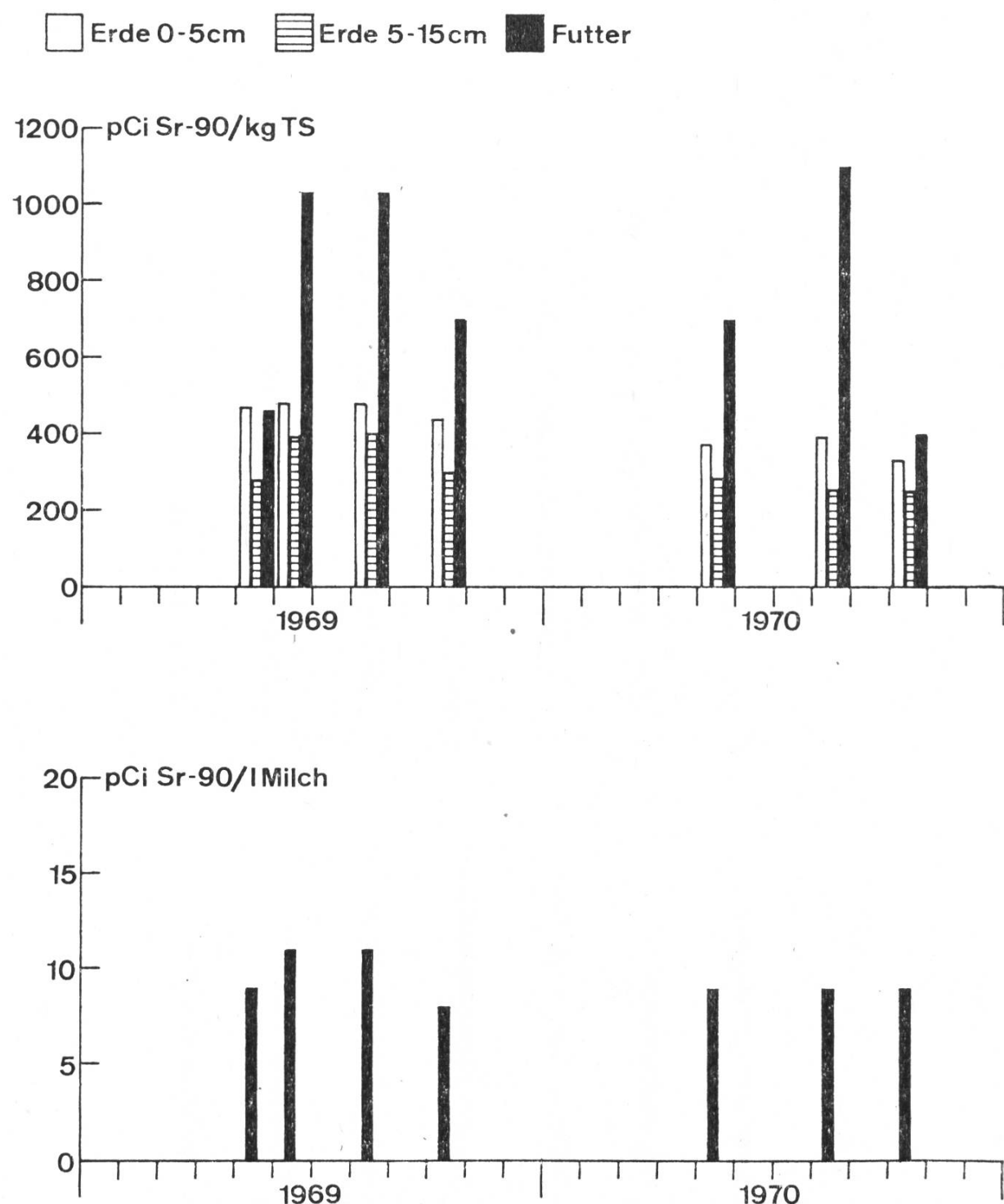


Fig. 23. Sr-90-Aktivität von Erdboden, Gras und Milch, Grangeneuve FR, 1969 und 1970

Fig. 23. Activité du Sr-90 dans le sol, dans l'herbe et dans le lait de Grangeneuve FR, de 1969 et 1970

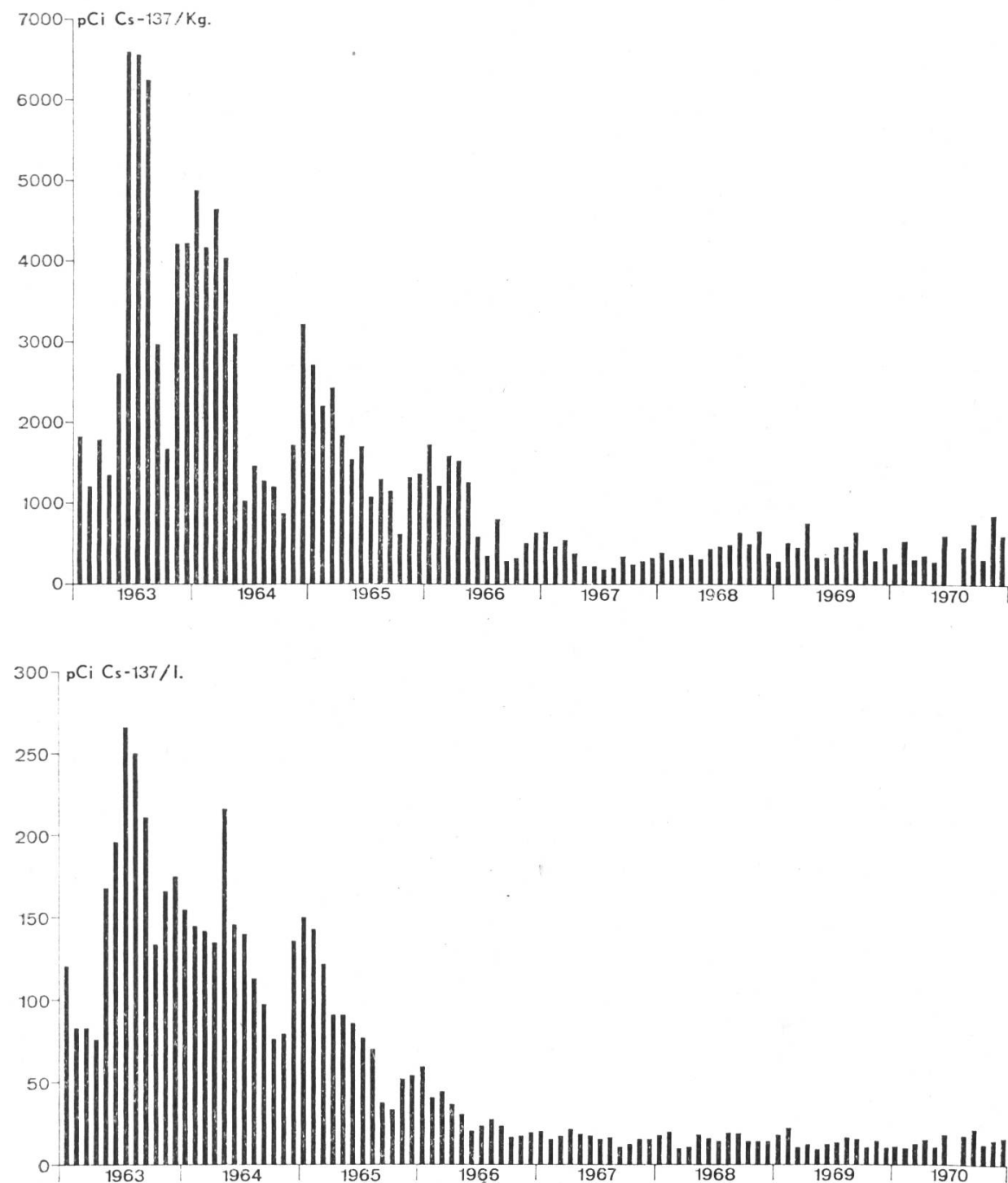


Fig. 24. Oben: Cs-137-Gehalt von Viehfutter (monatliche Probenahme), Ostschweiz 1963–1970  
Unten: Cs-137-Gehalt von Milch (monatliche Probenahme zwei Tage nach derjenigen des Futters), Ostschweiz 1963–1970

Fig. 24. En haut: Teneur en Cs-137 du fourrage (prélèvement mensuel d'échantillons), Suisse orientale de 1963 à 1970  
En bas: Teneur en Cs-137 du lait (prélèvement mensuel d'échantillons deux jours après celui du fourrage), Suisse orientale de 1963 à 1970

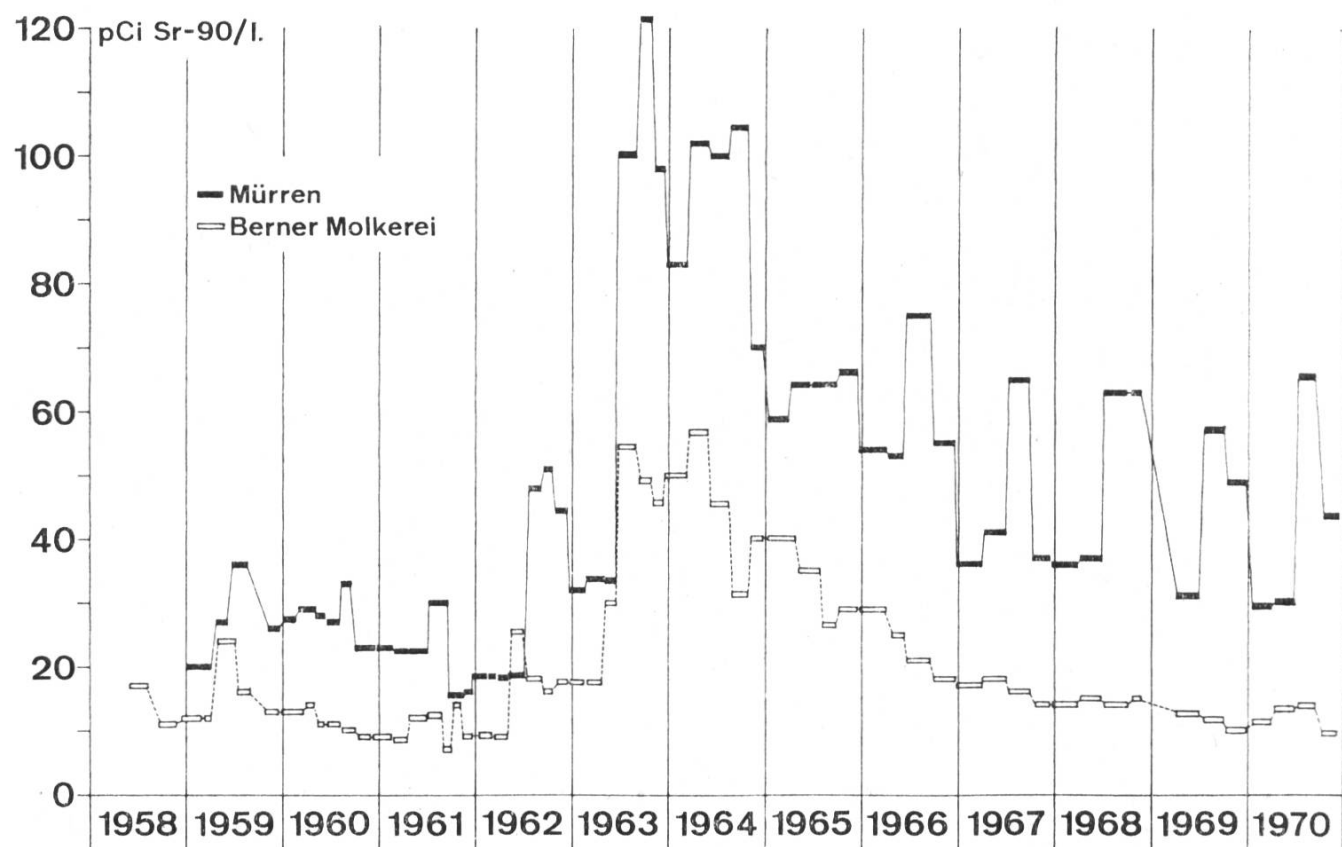


Fig. 25. Spezifische Sr-90-Aktivität von Frischmilch aus dem Flachland (Bern, 540 m) und aus einer Höhenlage (Mürren, 1650 m) für die Jahre 1958–1970

Fig. 25. Activité spécifique du Sr-90 dans le lait frais de plaine (Berne, 540 m) et de montagne (Mürren, 1650 m) pour les années 1958 à 1970

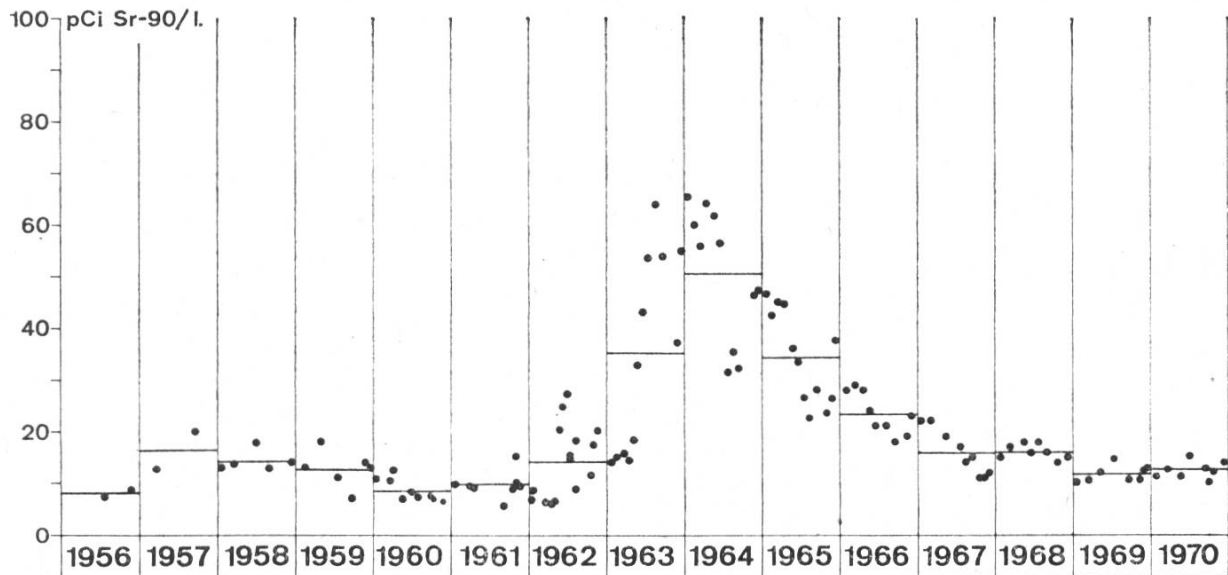


Fig. 26. Spezifische Sr-90-Aktivität von Trockenmilch aus dem Kanton Waadt von 1956–1970. Angaben in pCi/l Frischmilch

Fig. 26. Activité spécifique du Sr-90 dans le lait en poudre du canton de Vaud pour les années 1956 à 1970. Données en pCi/l lait frais

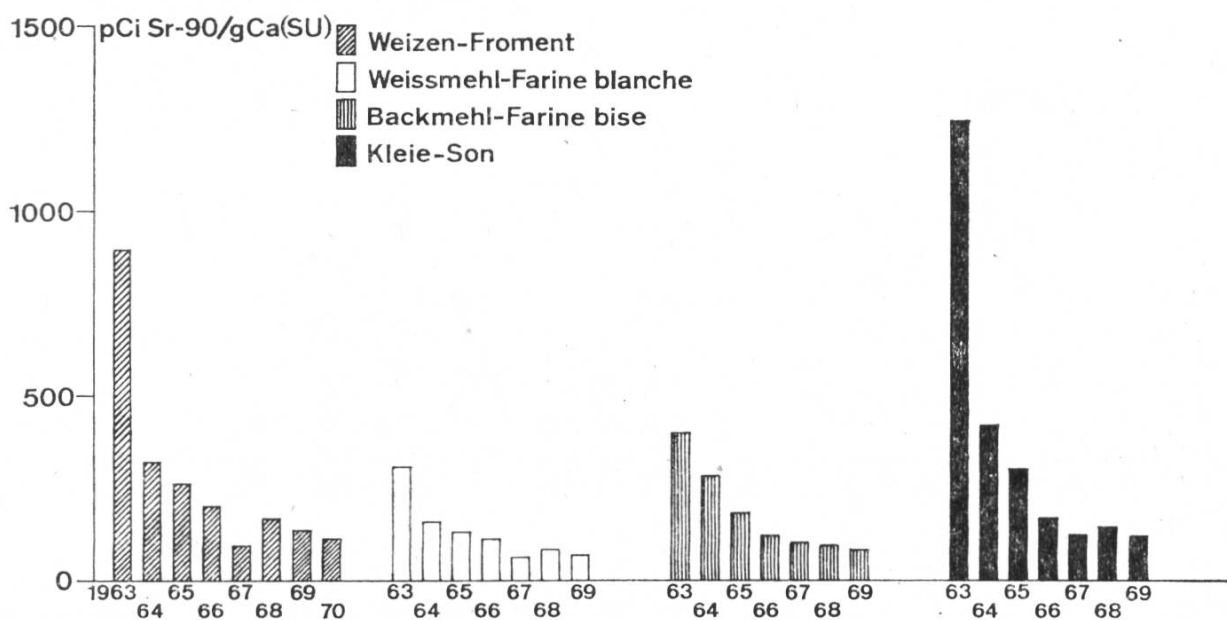


Fig. 27. Sr-90-Aktivität pro g Kalzium von Weizen und Weizen-Mahlprodukten, gemittelt über 7 Herkunftsstellen für die Jahre 1963–1970

Fig. 27. Activité du Sr-90 dans le froment et ses produits de mouture en pCi Sr-90 par g calcium. Moyennes de sept provenances, pour les années 1963 à 1970

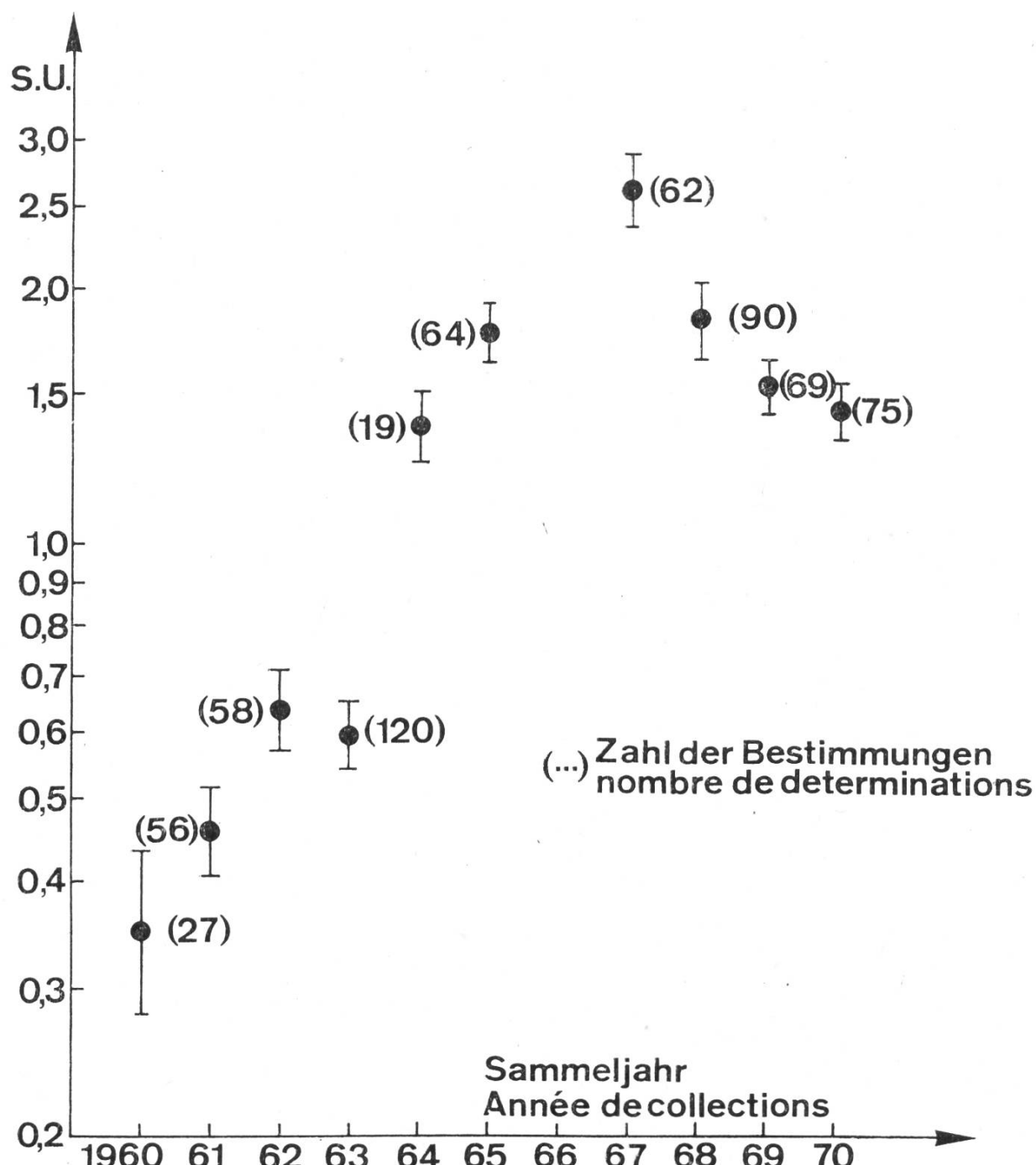


Fig. 28. Sr-90-Analyse von Knochen Erwachsener für die Jahre 1960–1970, angegeben in Strontium-Einheiten (pCi Sr-90/g Ca). In Klammern: Zahl der ausgeführten Analysen. Mittelwerte mit Normalisationsfaktoren

Fig. 28. Analyse du Sr-90 dans les os d'adultes pour les années 1960 à 1970, en unités de strontium (pCi Sr-90/g Ca). Entre parenthèses: nombre d'analyses effectuées. Moyennes avec facteurs de normalisation

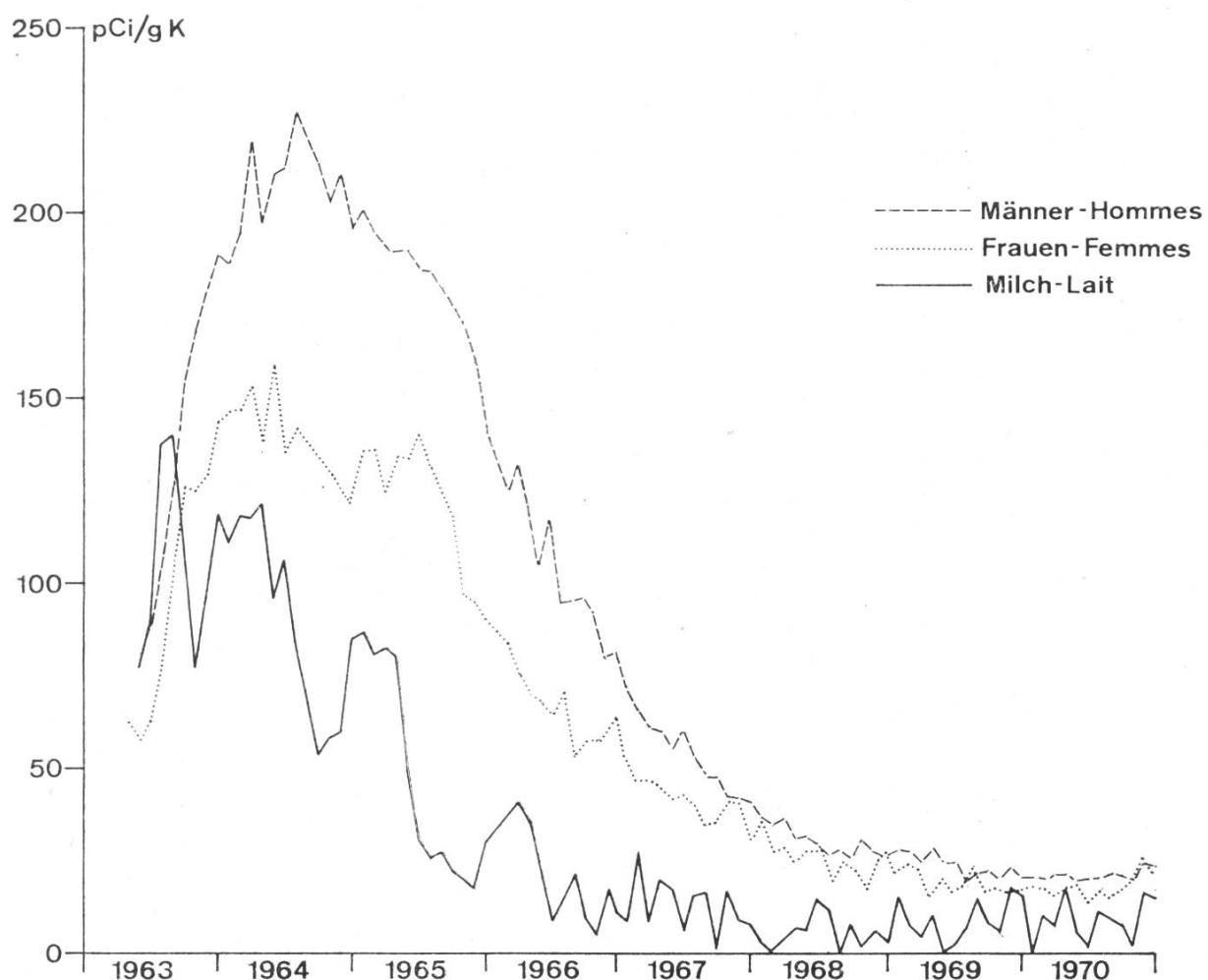


Fig. 29. Cs-137-Aktivität im menschlichen Körper und in der Milch, Messungen mit dem Anthropospektrometer Genf, 1963-1970

Fig. 29. Activité du Cs-137 dans le corps humain et dans le lait, mesures effectuées à l'anthropo-spectromètre de Genève, de 1963 à 1970